Kapitel 1

Simpliziale Garben

In diesem Kapitel beschäftigen wir uns mit simplizialen Objekten in der Kategorie der Garben auf einem topologischen Raum X. Während Simplizialkomplexe ungerichtete Graphen verallgemeinern, verallgemeinern simpliziale Mengen gerichtete Graphen, und werden uns so bei der geometrischen Realisierung von Objekten in Diagrammkategorien von Garben zur Verfügung stehen.

1.1 Simpliziale Mengen

Wir betrachten die Menge Δ der nichtleeren endlichen Ordinalzahlen. Ihre Elemente sind von der Form $\{0, 1, \ldots, n\}$ für ein $n \in \mathbb{N}$, welche wir kurz mit [n] bezeichnen werden. Wir verstehen diese Mengen [n] als angeordnete Mengen.

Definition 1.1. Die Simplex-Kategorie Δ ist die Kategorie der endlichen nichtleeren Ordinalzahlen versehen mit monotonen Abbildungen als Morphismen.

Ist C eine Kategorie, so bezeichnen wir eine Prägarbe auf Δ mit Werten in C (d. h. einen Funktor $\Delta^{op} \to C$) als simpliziales Objekt in C.

Unseren gewohnten Sprechweisen folgend nennen wir simpliziale Objekte in C auch kurz "simpliziale C" und sprechen etwa von simplizialen Mengen und simplizialen Garben. Wir notieren die Funktorkategorien simplizialer Objekte in C auch kurz mit s $C = [\Delta^{\text{op}}, C]$. Opponiert bezeichnen wir einen Funktor $\Delta \to C$ als kosimpliziales Objekt in C.

Für $X \in \mathfrak{s} C$ ein simpliziales Objekt notieren wir kurz $X_n = X([n])$ und für eine monotone Abbildung $f : [m] \to [n]$ auch $f^* = X(f)$.

Die monotonen Abbildungen $[m] \to [n]$ werden von zwei besonders einfachen Klassen monotoner Abbildungen erzeugt: von den Randabbildungen, den eindeutigen Injektionen $d_i^n: [n-1] \to [n]$, die $i \in \{0, \ldots, n\}$ nicht treffen, und den Degenerationsabbildungen, den eindeutigen Surjektionen $s_i^n: [n+1] \to [n]$, für die $i \in \{0, \ldots, n\}$ zweielementiges Urbild hat.

Lemma 1.2 ([?], I.2, ex. 1). (i) Die Rand- und Degenerationsabbildungen erfüllen die Relationen

$$\begin{split} d_j^{n+1}d_i^n &= d_i^{n+1}d_{j-1}^n \quad f\ddot{u}r \quad i < j, \\ s_j^n s_i^{n+1} &= s_i^n s_{j+1}^{n+1} \quad f\ddot{u}r \quad i \leq j, \\ s_j^{n-1}d_i^n &= \begin{cases} d_i^{n-1}s_{j-1}^{n-2} \quad f\ddot{u}r \quad i < j, \\ \mathrm{id}_{[n-1]} \quad f\ddot{u}r \quad i = j \ oder \ i = j+1, \\ d_{i-1}^{n-1}s_j^{n-2} \quad f\ddot{u}r \quad i > j+1. \end{cases} \end{split}$$

(ii) Sei $f:[m] \to [n]$ monoton. Dann hat f eine eindeutige Darstellung

$$f = d_{i_1}^n \dots d_{i_s}^{n-s+1} s_{j_t}^{m-t} \dots s_{j_1}^{m-1}$$

$$mit \ n \ge i_1 > \dots > i_s \ge 0, \ m > j_1 > \dots > j_t \ge 0 \ und \ n = m - t + s.$$

- (iii) Die vom Köcher der endlichen nichtleeren Ordinalzahlen mit den Randund Korandabbildungen und den angegebenen Relationen auf den Morphismenmengen erzeugte Pfadkategorie ist isomorph zu Δ .
- Beweis. (i) Durch Bildchen Zeichnen oder explizites Nachrechnen: Wir werten beide Abbildungen simultan auf allen Elementen aus und erhalten zum Beispiel für die erste Aussage:

$$\begin{array}{ccc} (0,1,\ldots,i-1,i,i+1,\cdots,j-2,j-1,j,\cdots,n-1) \\ & \stackrel{d_i^n}{\longmapsto} & (0,1,\cdots,i-1,i+1,i+2,\cdots,j-1,j,j+1,\cdots,n) \\ & \stackrel{d_j^{n+1}}{\longmapsto} & (0,1,\cdots,i-1,i+1,i+2,\cdots,j-1,j+1,j+2,\cdots,n+1) \end{array}$$

sowie

$$\begin{array}{c} (0,1,\cdots,i-1,i,i+1,\cdots,j-2,j-1,j,\cdots,n-1) \\ \stackrel{d_{j-1}^n}{\longmapsto} & (0,1,\cdots,i-1,i,i+1,\cdots,j-2,j,j+1,\cdots,n) \\ \stackrel{d_{i}^{n+1}}{\longmapsto} & (0,1,\cdots,i-1,i+1,i+2,\cdots,j-1,j+1,j+2,\cdots,n+1). \end{array}$$

- (ii) In einer solchen Darstellung gibt m-t die Anzahl der Funktionswerte der Abbildung an, die j_k beschreiben die Partition von $(0, \dots, m)$ in zusammenhängende Abschnitte mit demselben Funktionswert und die i_k bestimmen die Funktionswerte selbst.
- (iii) Jeden Morphismus in der Pfadkategorie, d. h. jedes Tupel komponierbarer Rand- und Degenerationsabbildungen kann mit den Relationen aus dem ersten Teil auf eine Form wie in (ii) gebracht werden. Umgekehrt ist nach (ii) jede monotone Abbildung aber auch als ein solcher Pfad darstellbar. Den Isomorphismus definiert also der Funktor, der auf Objekten durch die Identität und auf Morphismen durch die offensichtliche Zuordnung der Erzeuger der Pfadkategorie auf die jeweiligen Rand- und Degenerationsabbildungen gegeben ist.

Die einfachsten Beispiele nichttrivialer simplizialer Mengen sind die Standardn-Simplizes, die sich als die darstellbaren Funktoren $\Delta^n = \Delta(\cdot, [n])$ beschreiben lassen. Wir erhalten den Funktor

$$R: \Delta^{\mathrm{op}} \to \mathrm{s} \,\mathrm{Ens},$$

 $[n] \mapsto \Delta^n = \Delta(\cdot, [n]),$

der auf Morphismen durch Vorschalten gegeben ist, welches wir mit $f \mapsto f^*$ notieren.

Ist $X \in s$ Ens eine simpliziale Menge, so bezeichnen wir $X_n := X([n])$ als die Menge der n-Simplizes von X. Nun sind die n-Simplizes von X gerade die "Bilder des n-ten Standardsimplizes in X" sind, präziser

$$X_n \xrightarrow{\sim} s \operatorname{Ens}(\Delta^n, X).$$
 (1.1)

In der Tat besagt das Yoneda-Lemma, dass die Transformationen des freien Funktors $\Delta^n = \Delta(\cdot, [n])$ zum Funktor X in natürlicher Bijektion stehen zu X([n]).

Das anschließende Lemma zeigt, dass sich eine simpliziale Menge X vollständig durch ihre Simplizes $\Delta^n \to X$ verstehen lässt. Dazu erklären wir zunächst Slice-Kategorien, Kategorien von Objekten über einem gegebenen Objekt bzw. Spezialfälle von Komma-Kategorien.

Definition 1.3. Sei $r:C\to D$ ein Funktor und $X\in D$ ein Objekt. Dann bezeichnet $C\downarrow rX$ die Slice-Kategorie der Objekte von C über X mittels r, deren Objekte Objekte $Y\in C$ samt einem Morphismus $\pi_Y:rY\to X$ sind und deren Morphismen Morphismen $f:Y\to Z$ in C sind, für die rf ein Morphismus über X ist, d. h. $\pi_Y=\pi_Z\circ rf$ gilt.

Wir bezeichnen die Slice-Kategorie $\Delta \downarrow r X$ als die Simplexkategorie von X. Konkret ist darin ein Objekt ein Morphismus $\Delta^n \to X$ und ein Morphismus ein von $[n] \to [m]$ induzierter Morphismus simplizialer Mengen $\Delta^n \to \Delta^m$ über X.

Lemma 1.4. Sei $X \in s$ Ens eine simpliziale Menge. Dann gilt

$$X \xrightarrow{\sim} \operatorname{col}_{\Lambda^n \to X} \Delta^n$$
,

mit dem Kolimes über die Simplexkategorie von X.

Beweis. Bezeichne K obigen Kolimes. Das System, über das der Kolimes gebildet wird, sichert uns nach der universellen Eigenschaft des Kolimes einen Morphismus $K \to X$. Wir müssen also zeigen, dass dieser Bijektionen auf den n-Simplizes induziert. Tatsächlich definiert ein n-Simplex $\Delta^n \to K$ durch Nachschalten von $K \to X$ einen n-Simplex in X. Diese Zuordnung ist bijektiv, denn wir erhalten eine Umkehrabbildung, wenn wir $\Delta^n \to X$ den zugehörigen Morphismus in den Kolimes $\Delta^n \to K$ zuordnen.

Der Beweis benötigte keine konkreten Eigenschaften der simplizialen Mengen. Wir halten mit wörtlich übertragenen Beweis allgemein fest:

Proposition 1.5. Sei $F: C \to \text{Ens}$ ein Funktor. Dann ist F ein Kolimes über darstellbare Funktoren $C(X, \cdot)$.

Beweis. Wir betrachten mittels des Funktors $r:C\to\operatorname{Ens}^C,X\mapsto C(X,\cdot)$ die Slice-Kategorie $C\downarrow rF$ der darstellbaren Funktoren über F und dann das System in Ens^C , das daraus durch Vergessen der Transformationen nach F hervorgeht. Wir bezeichnen wieder den Kolimes darüber mit K und erhalten mit der universellen Eigenschaft eine Transformation $K\Rightarrow F$. Diese ist eine Isotransformation, wenn sie auf allen Objekten $X\in C$ Bijektionen $KX\xrightarrow{\sim}FX$ induziert. Nach dem Yoneda-Lemma entsprechen diese den Transformationen $C(X,\cdot)\Rightarrow K$ bzw. $C(X,\cdot)\Rightarrow F$. Diese stehen aber nach der universellen Eigenschaft des Kolimes und der Definition der Kategorie $C\downarrow rF$ in Bijektion durch Nachschalten von $K\Rightarrow F$.

1.2 Der kosimpliziale Raum der Standardsimplizes

Die geometrsiche Realsierung einer simplizialen Menge soll sich mit geeigneten Identifikationen aus den geometrischen Realisierungen von Standard-*n*-Simplizes zusammensetzen. Diese definieren wir als die abgeschlossenen geometrischen Standard-*n*-Simplizes

$$|\Delta^n| = \left\{ x \in \mathbb{R}^{n+1} \,\middle|\, 0 \le x_i \le 1, \sum_{i=0}^n x_i = 1 \right\}.$$

Ein Morphismus $f:[m] \to [n]$ induziert eine stetige Abbildung $|f|:|\Delta^m| \to |\Delta^n|$ auf den zugehörigen Simplizes. Nach 1.2 reicht es, diese für Rand- und Degenerationsabbildungen anzugeben. Für die Randabbildung $|d_i|$ handelt es sich dabei um die Inklusion der *i*-ten Kante, d. h. in Koordinaten das Einfügen einer Null an der *i*-ten Stelle, für die Degenerationen $|s_i|$ um den Kollaps der *i*-ten Kante, d. h. in Koordinaten die Ersetzung der *i*-ten und ihrer darauffolgenden Koordinate durch ihre Summe. In Formeln:

$$|d_i^n|(x_0,\dots,x_{n-1}) = (x_0,\dots,x_{i-1},0,x_i,\dots,x_{n-1}), |s_i^n|(x_0,\dots,x_{n+1}) = (x_0,\dots,x_{i-1},x_i+x_{i+1},x_{i+2},\dots,x_{n+1}).$$

Wir erhalten einen Funktor $R: \Delta \to \text{Top}, [n] \mapsto \Delta^n$, genannt der kosimpliziale Raum der Standardsimplizes.

1.3 Geometrische Realisierung simplizialer Mengen

Wir erklären nun die geometrische Realisierung simplizialer Mengen. Der Unterschied zur geometrischen Realsierung von Simplizialkomplexen ist im Wesentlichen die Möglichkeit, Simplizes wiederzuverwenden und zu degenerieren, was zu

Identifikationen in der geometrischen Realisierung führt. Ein Fall von "Wiederverwendung" ist etwa die Realisierung der S^1 als 1-Simplex, dessen Endpunkte übereinstimmen. Degeneration bedeutet, dass niedererdimensionale Simplizes auch die Rolle höherdimensionaler Simplizes übernehmen können. Wir können etwa unser Beispiel modifizieren und die S^n als n-Simplex realisieren, bei dem alle niederdimensionalen Kanten in einem Punkt zusammenfallen.

Die geometrische Realisierung von Standard-n-Simplizes haben wir gerade gesehen. Nun fordern wir, dass sich die Realisierung mit Kolimites vertrage:

$$|\operatorname{col}_i X_i| \xrightarrow{\sim} \operatorname{col}_i |X_i|.$$
 (1.2)

Wenn dies der Fall sein soll, so müssen wir mit der Darstellung

$$X := \operatorname{col}_{\Delta^n \to X} \Delta^n$$

aus ?? auf jeden Fall setzen

$$|X| := \operatorname{col}_{\Lambda^n \to X} |\Delta^n|. \tag{1.3}$$

Debei wird der Kolimes wieder über die Simplexkategorie von X gebildet, nun allerdings mit den induzierten stetigen Abbildungen aus \ref{Matter} als Systemmorphismen

Ein Morphismus simplizialer Mengen $X \to Y$ induziert nun durch Nachschalten von $X \to Y$ einen Funktor auf den Simplexkategorien $\Delta \downarrow X \to \Delta \downarrow Y$ und damit auch auf den Kolimites eine stetige Abbildung $|X| \to |Y|$. Wir erhalten also den Funktor der geometrischen Realisierung $|\cdot|$: s Ens \to Top.

Unsere Konstruktion erfüllt tatsächlich:

Proposition 1.6. Der Funktor der geometrischen Realisierung simplizialer Mengen $|\cdot|$ vertauscht mit beliebigen Kolimites über kleine Indexkategorien.

Beweis. Zu zeigen ist, dass die Bildung der Simplexkategorie mit Kolimites vertauscht, d. h. für einen Funktor $X:I\to s$ Ens gilt:

$$\Delta \downarrow_r \operatorname{col}_i X_i \xrightarrow{\sim} \operatorname{col}_i \Delta \downarrow_r X_i$$
.

Beide Kategorien bestehen aber aus Objekten der Form $\Delta^n \to X_i$ für ein $i \in I$, die identifiziert werden, falls sie durch Nachschalten von $X_i \to X_j$ auseinander hervorgehen.

Wie ganz allgemein können wir den Kolimes topologischer Räume auch explizit mittels Koprodukt und Koegalisator ausschreiben. Wir verstehen die Mengen X_n als diskrete topologische Räume und erhalten:

$$|X| \xrightarrow{\sim} (\coprod_n X_n \times |\Delta^n|)/\sim$$

mit der Quotiententopologie, die durch die von

$$(x, |f|(p)) \sim (f^*x, p)$$

für alle monotonen $f:[m] \to [n]$ erzeugte Äquivalenzrelation gegeben ist.

1.4 Sparsame Realisierung durch nichtdegenerierte Simplizes

Während die Definition simplizialer Mengen und ihrer Realisierung mit Degenerationsabbildungen wie gesehen von einem formalen Standpunkt aus sehr elegant ist, ist für die konkrete Arbeit häufig eine explizitere Form der Realisierung praktischer, die "unnötige Simplizes von vornherein weglässt".

Definition 1.7 ([?], I.2.9). Sei $X \in s$ Ens eine simpliziale Menge. Ein Simplex $x \in X_n$ heißt degeneriert, falls es einen Simplex $y \in X_m$ und eine surjektive monotone Abbildung $s : [n] \to [m], n > m$ gibt mit $x = s^*y$.

Andernfalls heißt ein Simplex nichtdegeneriert. Für $X \in s$ Ens bezeichne NX_n die Menge der nichtdegenerierten n-Simplizes von X.

Lemma 1.8 ([?], Prop. 9). Sei $X \in s$ Ens eine simpliziale Menge und $x \in X_n$ ein n-Simplex. Dann gibt es eine eindeutige Darstellung $x = s^*y$ für $y \in NX_m$ einen nichtdegenerierten Simplex von X und $s : [n] \to [m]$ eine surjektive monotone Abbildung.

Beweis. Ist x nichtdegeneriert, wähle y = x und $s = \mathrm{id}_{[n]}$. Andernfalls gibt es nach Definition ein y eine Surjektion mit der gewünschten Eigenschaft. Diese sind eindeutig nach den Relationen aus 1.2, vergleiche [?], Prop. 9.

Wir notieren für eine solche Darstellung $x = s^*y$ auch $y = N_s(x)$.

Wir definieren nun die sparsame geometrsiche Realisierung einer simplizialen Menge X wie folgt:

$$||X|| := \coprod_n NX_n \times |\Delta^n|/\sim_N,$$

wobei wie gehabt NX_n die diskrete Topologie trägt und die Äquivalenz
relation erzeugt ist von

$$(x, |d_i|(p)) \sim_N (N_s(d_i^*x), |s|(p)),$$

mit der eindeutigen Darstellung Degenerierter aus 1.8. Diese Äquivalenzrelation lässt sich interpretieren als das Umgehen der mittleren Schritte in der Rechnung

$$(x, d_i p) \sim (d_i^* x, p) \sim (s^* y, p) \sim (y, |s|(p))$$

 $mit y = N_s(d_i^*x).$

Satz 1.9. Die von der Inklusion

$$\prod_{n} NX_n \times |\Delta^n| \hookrightarrow \prod_{n} X_n \times |\Delta^n|$$

induzierte Abbildung $||X|| \xrightarrow{\sim} |X|$ ist ein Homöomorphismus.

Beweis. Die Abbildung existiert und ist stetig nach der universellen Eigenschaft topologischer Quotienten, denn die Äquivalenzrelation \sim umfasst \sim_N . Sie ist bijektiv, denn für die dazukommenden Punkte in degenerierten Simplizes s^*x

gilt ohnehin $(s^*x, p) \sim (x, |s|(p))$. Weiter ist sie offen: Ist $U \subset ||X||$ eine offene Teilmenge, so berechnen wir ihr Bild in |X| durch das Bild ihres Urbilds V in $\coprod_n NX_n \times |\Delta^n|$ unter

$$\coprod_{n} NX_{n} \times |\Delta^{n}| \hookrightarrow \coprod_{n} X_{n} \times |\Delta^{n}| \xrightarrow{q} |X|.$$

Bezeichne \overline{V} den Abschluss von $V \odot \coprod_n X_n \times |\Delta^n|$ unter \sim -Äquivalenz. Es gilt $\overline{V} = q^{-1}(q(V))$ und wir müssen nach Definition der Quotiententopologie zeigen, dass \overline{V} offen ist. Bezeichne für x einen nichtdegenerierten Simplex von X den Schnitt von V mit dem zu x gehörigen geometrischen Simplex $|\Delta^n|$ mit V_x . Bei Übergang von V zu \overline{V} kommen dann alle Punkte (s^*x,p) mit $(x,|s|(p)) \in U_x$ hinzu. Das Urbild der offenen Menge U_x unter dem stetigen s-Kollaps |s| ist dann natürlich wieder offen.

1.5 Iterative Konstruktion der geometrischen Realisierung

Wir geben eine weitere Interpretation der geometrischen Realisierung als iteratives Ankleben geometrischer Simplizes an ihre Ränder an und werden so insbesondere sehen, dass die geometrische Realisierung einen Hausdorffraum liefert ([?], III.1).

Bezeichne dazu $\|X^{\leq k}\| = \coprod_{n=0}^k NX_n \times |\Delta^n|/\sim_N$ die geometrische Realisierung durch nichtdegenerierte Simplizes der Dimension $\leq k$. Wir erhalten Einbettungen $\|X^{\leq k}\| \hookrightarrow \|X\|$ sowie $\|X\| = \bigcup_k \|X^{\leq k}\|$, denn die Äquivalenzrelation von ganz $\|X\|$ fügt keine neuen Identifikationen auf den Teilmengen $\|X^{\leq k}\| \subset \|X\|$ binzu

Wir können die $\|X^{\leq k}\|$ iterativ konstruieren. Betrachte dazu die stetigen Abbildungen π_k , die uns den "k-dimensionalen Teil" von $\|X\|$ liefern:

$$\pi_k: NX_k \times |\Delta^k| \hookrightarrow \coprod_{n=0}^k NX_n \times |\Delta^n| \twoheadrightarrow ||X^{\leq k}||.$$

Proposition 1.10 ([?], III.1, [?], I.2.3). Sei $X \in s$ Ens eine simpliziale Menge. Dann ist

ein Pushout topologischer Räume. Dabei ist die Abbildung links auf der i-ten Kante $|d_i|: |\Delta^{k-1}| \hookrightarrow \partial |\Delta^k|$ gegeben durch

$$NX_k \times |\Delta^{k-1}| \to ||X^{\leq k-1}||$$

 $(x, p) \mapsto [(N_s(d_i^*x), |s|(p))].$

Beweis. Die Definition der Abbildung links ist sinnvoll, da sie auf den niederdimensionalen Überschneidungskanten von $|d_i||\Delta^k|$ und $|d_i||\Delta^k|$ übereinstimmt.

Sowohl der Pushout des Diagramms als auch $\|X^{\leq k}\|$ sind Quotienten von $\coprod_{n=0}^k NX_n \times |\Delta^n|$ nach gewissen Äquivalenzrelationen. Bezeichne die Einschränkung von \sim_N auf $\coprod_{n=0}^k NX_n \times |\Delta^n|$ mit \sim_N^k . Die erzeugenden Relationen für \sim_N^k sind:

$$(x, |d_i|(p)) \sim (N_s(d_i^*x), |s|(p))$$
 für $x \in NX_n, n \le k$.

Das sind für $x \in NX_n$ und $n \le k-1$ genau die erzeugenden Relationen von \sim_N^{k-1} und für n=k genau die Relationen aus der Definition des Pushouts. \square

Korollar 1.11. Die geometrische Realisierung |X| einer simplizialen Menge $X \in \mathbf{s}$ Ens ist ein Hausdorffraum.

Beweis. Die vorangegangene Proposition zeigt sogar, dass es sich um einen CW-Komplex handelt. Die Pushouts sind dabei das Ankleben von k-Zellen. Konkret zur Hausdorff-Eigenschaft: Seien $p,q\in \|X\|$, $p\neq q$. Dann gibt es ein k mit $p,q\in \|X^{\leq k}\|\setminus \|X^{\leq k-1}\|$. Somit liegt ohne Einschränkung p im Inneren eines k-Simplizes und kann ohne Probleme durch disjunkte offene Umgebungen $U_k,V_k\subset \|X^{\leq k}\|$ von Randpunkten dieses Simplexes und Punkten in anderen Simplizes getrennt werden. Wir erhalten daraus disjunkte offene Umgebungen U und V in ganz |X|, indem wir sie "baryzentrisch ergänzen": Sei dazu zu jedem geometrischen Standardsimplex $|\Delta^n|$ ein ausgezeichneter Punkt z_n in seinem offenen Inneren fest gewählt (etwa das Baryzentrum). Wir setzen für $n\geq k$ induktiv

$$U_{n+1} = \{ [(y,r)] \in ||X^{\leq n+1}|| \mid y \in NX_{n+1}, \exists t \in (0,1], w \in |\Delta^n| : (d_i^*y, w) \in U_n, r = tw + (1-t)z_y \},$$

den konvexen Abschluss zu z_y von U_n in den an U_n angrenzenden Simplizes y und dann $U = \bigcup_{n \geq k} U_n$ sowie V entsprechend. Diese Teilmengen sind nach Induktion disjunkt, offen und enthalten p bzw. q.

1.6 Kompakt erzeugte Hausdorffräume

Die geometrischen Realisierungen simplizialer Mengen liegen tatsächlich sogar in einer in ihren kategoriellen Eigenschaften bequemen (convenient) Kategorie topologischer Räume, den kompakt erzeugten Hausdorffräumen.

Definition 1.12 ([?]). Ein topologischer Raum X heißt kompakt erzeugt, falls gilt: eine Teilmenge $A \subset X$ ist abgeschlossen, falls $A \cap K$ abgeschlossen ist für jedes Kompaktum $K \subset X$.

Bemerkung 1.13. Äquivalent dazu ist: eine Teilmenge $U\subset X$ ist offen, falls $U\cap K$ offen ist für jedes Kompaktum $K\subset X$.

Wir notieren volle Unterkategorie der kompakt erzeugten Hausdorffräume in den topologischen Räumen mit CGHaus. Die kompakt erzeugten Hausdorffräume umfassen eine sehr große Klasse an relevanten topologischen Räumen, etwa CW-Komplexe oder erstabzählbare Räume. Für uns relevant sind die folgenden Kriterien:

Lemma 1.14. (i) Ist X ein lokal kompakter topologischer Raum, so ist X kompakt erzeugt.

- (ii) Ist $p: X \to Y$ eine Quotientenabbildung (d. h. Y trägt die Finaltopologie bezüglich p) und X kompakt erzeugt, so ist auch Y kompakt erzeugt.
- Beweis. (i) Sei $U \subset X$ mit $U \cap K$ offen für alle $K \subset X$ kompakt. Mit der Lokalkompaktheit von X wählen wir zu jedem $x \in X$ eine kompakte Umgebung K_x und erhalten, dass $U = \bigcup_{x \in X} U \cap K_x$ offen ist als Vereinigung offener Mengen.
 - (ii) Sei $A \subset Y$ mit $A \cap K$ abgeschlossen für alle $K \subset Y$ kompakt. Mit der Finaltopologie auf Y gilt, dass $A \subset Y$ genau dann abgeschlossen ist, wenn $p^{-1}(A) \subset X$ abgeschlossen ist. Sei nun $\tilde{K} \subset X$ kompakt. Es ist $p^{-1}(A) \cap \tilde{K}$ abgeschlossen, denn $p(p^{-1}(A) \cap \tilde{K}) = p(\tilde{K}) \cap A$ ist abgeschlossen nach Voraussetzung $(p(\tilde{K}) \subset Y)$ ist kompakt als stetiges Bild eines Kompaktums). Da X kompakt erzeugt ist, folgt nun, dass $p^{-1}(A)$ abgeschlossen ist und somit auch $A \subset Y$.

Daraus folgt sofort unser Ziel.

Korollar 1.15. Die geometrische Realisierung |X| einer simplizialen Menge $X \in s$ Ens ist ein kompakt erzeugter Hausdorffraum.

Beweis. Es handelt sich um einen Hausdorffraum nach 1.11. Nach 1.14 (i) ist $\coprod_n X_n \times |\Delta^n|$ kompakt erzeugt und mit 1.14 (ii) auch |X|.

1.7 Geometrische Realisierung als Koende

Die Sprache der Enden und Koenden ermöglicht uns eine allgemeinere Sicht auf die geometrische Realisierung und wird sich später als nützlich erweisen, um andere Formen der geometrischen Realisierung einzuführen. Wir führen Koenden und ihre Eigenschaften ein, Enden sind dazu formal dual. Die Darstellung folgt [?].

Definition 1.16 ([?], 1.1 f.). Sei $F: C^{\text{op}} \times C \to D$ ein Funktor. Ein Objekt $K \in D$ mit Morphismen $\iota_c: F(c,c) \to K$ für alle $c \in C$ heißt Kokeil für F, falls für alle Morphismen $f: c \to d$ in C das folgende Diagramm kommutiert:

$$F(d,c) \xrightarrow{F(f,\mathrm{id})} F(c,c)$$

$$\downarrow^{F(\mathrm{id},f)} \qquad \downarrow^{\iota_c}$$

$$F(d,d) \xrightarrow{\iota_d} K$$

Die Kokeile für F bilden eine Kategorie (Morphismen verträglich mit den ι_c). Ein initiales Objekt in der Kategorie der Kokeile für F (ein universeller Kokeil) heißt das Koende von F.

Ein Kokeil für einen Funktor $F: C^{\text{op}} \times C \to D^{\text{op}}$ heißt entsprechend Keil für den assoziierten Funktor $F^{\text{op}}: C \times C^{\text{op}} \to D$ und ein universeller Keil das Ende des Funktors F^{op} . Wir notieren häufig das Koende von F als Integral:

$$\int^{c \in C} F(c, c).$$

Wir können Koenden als Koegalisator von Koprodukten darstellen:

Lemma 1.17 ([?], 1.14). Sei $F: C^{op} \times C \to D$ ein Funktor und K sein Koende. Dann ist das folgende Diagramm ein Koegalisator:

$$\coprod_{f: c \to d} F(d,c) \overset{F(f, \mathrm{id}}{\underset{F(\mathrm{id}, f)}{\rightrightarrows}} \coprod_{c \in C} F(c,c) \to K.$$

Beweis. Der Morphismus in das Koende ist von den $\iota_c: F(c,c) \to K$ induziert, die Morphismen des Egalisators durch die angegebenen Morphismen auf den Komponenten $F(d,c) \xrightarrow{F(f,\mathrm{id})} F(c,c)$ und $F(d,c) \xrightarrow{F(\mathrm{id},f)} F(d,d)$. Die universellen Eigenschaften, die den Koegalisator und das Koende definieren, sind dann identisch.

Sind $F:C^{\text{op}}\to D$ und $G:C\to D$ Funktoren und ist D eine monoidale Kategorie (Schmelzkategorie mit universellen Verschmelzungen), so definieren sie einen Funktor

$$C^{\text{op}} \times C \to D \times D \to D,$$

 $(a,b) \mapsto (Fa,Gb) \mapsto Fa \otimes Gb.$

Das Koende über diesen Funktor heißt das $Tensorprodukt\ F\otimes G$ von F und G.

Wir erinnern an die Darstellung der geometrischen Realisierung mit Koegalisator und Koprodukt:

$$|X| \xrightarrow{\sim} (\coprod_n X_n \times |\Delta^n|)/\sim$$

mit dem Quotienten nach der Äquivalenzrelation

$$(x, |f|(p)) \sim (f^*x, p)$$

für alle monotonen $f:[m] \to [n]$. Das ist gerade der Koegalisator

$$\coprod_{f:[n]\to[m]} X_n \times |\Delta^m| \underset{\mathrm{id}\times |f|}{\overset{f^*\times \mathrm{id}}{\rightrightarrows}} \coprod_{[n]} X_n \times |\Delta^n| \to |X|$$

aus 1.17 und mithin, falls Top mit ihrer kartesischen Schmelzstruktur durch Produkte versehen ist, das Tensorprodukt der Funktoren

$$\begin{split} X: \Delta^{\mathrm{op}} \to & \mathrm{Ens} \to \mathrm{Top} \qquad \text{und} \\ R: \Delta & \to & \mathrm{Top}, \qquad [n] \mapsto |\Delta^n|, \end{split}$$

wobei die Mengen X_n als diskrete topologische Räume aufgefasst werden ([?], III.1):

$$|X| = X \otimes R.$$

Bemerkung 1.18. Rückblickend halten wir fest, dass während unsere durch die "Kostetigkeitseigenschaft" für die Simplexkategorie $\Delta \downarrow r X$ (Gl. 1.3, 1.2) definierte geometrische Realisierung in dieser Situation elegant ist, sie auf einer konkreten Eigenschaft der Situation simplizialer Mengen beruht, die wir bei allgemeineren simplizialen Objekten nicht mehr gegeben haben. Konkret werden wir im nächsten Abschnitt einen gewissen Begriff einer Wirkung einer Kategorie auf einer anderen Kategorie erklären (Koexponentiale, siehe ??). Die Besonderheit simplizialer Mengen beruht nun darauf, dass sich die Wirkung von Ens auf Top $(X_n, |\Delta^n|) \mapsto \coprod_{X_n} |\Delta^n|$ als von der Wirkung von Ens auf s Ens, $(X_n, \Delta^n) \mapsto \coprod_{X_n} \Delta^n \cong \left\{ \Delta^n \xrightarrow{x} X \,\middle|\, x \in X_n \right\}$ induziert darstellen lässt, was uns zum Begriff der Simplexkategorie von X geführt hat. Bei Wirkungen wie von Top auf Top durch das kartesische Produkt wird es nicht mehr möglich sein, die $\Delta^n \to X$ aus der Simplexkategorie als topologischen Raum aufzufassen. Unsere Beschreibung der geometrischen Realisierung als Koende ist also die für allgemeinere Kontexte richtige Beschreibung.

1.8 Der (Ko-) Enden-Kalkül

Die Sprache der (Ko-) Enden besitzt eine Reihe an Verträglichkeits- und Umformungseigenschaften, die sie zu einem mächtigen Werkzeug für eine Vielzahl formaler Rechnungen in Anwendungen der Kategorientheorie machen (für Beispiele siehe [?]). Im folgenden werden einige Umformungsregeln dieses Kalküls ¹ zusammengestellt.

Lemma 1.19 (Funktorialität, [?]). Sind $F \stackrel{\eta}{\Rightarrow} G \stackrel{\tau}{\Rightarrow} H$ Transformationen von Funktoren $F, G, H : C^{\text{op}} \times C \to D$, deren Koenden existieren, so sind die auf den Koenden induzierten Morphismen

$$\int (\tau \circ \eta), \int \tau \circ \int \eta : \int^{c} F(c, c) \to \int^{c} H(c, c)$$

durch die Transformationen auf den Koenden gegeben und damit verträglich: $\int (\tau \circ \eta), \int \tau \circ \int \eta$.

Beweis. Dies folgt sofort aus der Eindetigkeit dieses Morphismus in der universellen Definition von Koenden. \Box

Lemma 1.20 (Fubini, [?], 1.9, [?], IX, 8). Sei $F: C^{op} \times C \times D^{op} \times D \to E$ ein Funktor. Dann ist

$$\int^{c \in C} F(c, c, \cdot, -) : D^{\mathrm{op}} \times D \to E$$

ein Funktor und es gilt

$$\int^{d \in D} \int^{c \in C} F(c,c,d,d) \xrightarrow{\sim} \int^{(c,d) \in C \times D} F(c,c,d,d),$$

wobei rechts F als Funktor $F: (C \times D)^{\mathrm{op}} \times (C \times D)$ aufgefasst wird.

 $^{^1{\}rm Bei}$ der Übersetzung aus dem Englischen geht leider die Analogie zu den Regeln der Differentiations- und Integrationstheorie verloren.

Beweis. Sei $K: D^{\mathrm{op}} \times D \to E$ ein Kokeil für $F: C^{\mathrm{op}} \times C \to [D^{\mathrm{op}} \times D, E]$ in der Funktorkategorie $D^{\mathrm{op}} \times D \to E$ und L(K) ein Kokeil für K. Auch solche iterierten Kokeile L(K) bestehen aus Morphismen $F(c,c,d,d) \to L(K)$ für alle c,d als Komposition von $F(c,c,\cdot,\cdot) \Rightarrow K$ ausgewertet auf $(d,d) \in D^{\mathrm{op}} \times D$ mit $K(d,d) \to L(K)$. Sie erfüllen die Kommutativitätseigenschaft von Kokeil-Quadraten für alle Morphismen der Form (f,id_d) in $C \times D$ (die Transformation aus der Kokeil-Eigenschaft von K ausgewertet in $(d,d) \in D^{\mathrm{op}} \times D$) sowie (id_c,g) in $C \times D$ (durch Vorschalten der zur Transfromation $F(c,c,\cdot,\cdot) \Rightarrow K$ gehörigen Morphismen vor das Kokeil-Quadrat von L(K)).

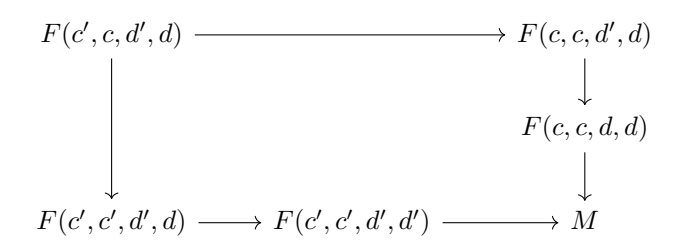
Nach denselben Argumenten definiert ein Kokeil M für $F:(C\times D)^{\operatorname{op}}\times(C\times D)$ einen iterierten Kokeil: Wir können einen iterierten Kokeil "sparsam" angeben, indem wir die inneren Kokeile nicht für alle $(d,d')\in D^{\operatorname{op}}\times D$, sondern nur für Diagonalelemente $(d,d)\in D^{\operatorname{op}}\times D$ sowie "Morphismenobjekte" $(d',d)\in D^{\operatorname{op}}\times D$ für einen Morphismus $f:d\to d'$ angeben. Der iterierte Kokeil ist dadurch vollständig festgelegt, da ja nur diese Kokeile in den Daten eines iterierten Kokeils eine Rolle spielen. Nun ist M zunächst wegen der Kommutativität von

$$F(c', c, d, d) \longrightarrow F(c, c, d, d)$$

$$\downarrow \qquad \qquad \downarrow$$

$$F(c', c', d, d) \longrightarrow M$$

ein (d,d)-Kokeil und dann durch Setzen der Inklusionen $F(c,c,d',d) \to M$ als Komposition $F(c,c,d',d) \to F(c,c,d',d') \to M = F(c,c,d',d) \to F(c,c,d,d) \to M$ wegen der Kommutativität von



auch ein (d', d)-Morphismenkokeil. Klarerweise ist dann auch M ein iterierter Kokeil über sich selbst als (d, d)- und (d', d)-Kokeil.

Morphismen von Kokeilen entsprechen nun Morphismen iterierter Kokeile und damit entsprechen sich auch Koenden alias die initialen Objekte der beiden Kategorien.

Bemerkung 1.21. Unser Argument verbessert die Aussage von [?], IX.8, geringfügig, da wie angedeutet nicht alle (d', d)-Koenden existieren müssen.

Ein weniger ad hoc formuliertes Argument würde Kokeile wie in als Kolimites über die zugehörige twisted arrow category ([?], 1.12 f.) bzw. subdivision category ([?], IX.5) beschreiben und die Aussage damit auf die für iterierte Kolimites und die jeweiligen Pfeilkategorien zurückführen.

Definition 1.22. Sei $F: C \to D$ ein Funktor. F heißt stetig, falls er mit allen Limites vertauscht. F heißt kostetig, falls er mit allen Kolimites vertauscht.

13

Lemma 1.23 (Koenden und kostetige Funktoren, [?], 1.16). Ist $F: D \to E$ ein kostetiger Funktor und $T: C^{op} \times C \to D$ ein Funktor, dann ist der natürliche Morphismus

 $F \int^{c} T(c,c) \xrightarrow{\sim} \int^{c} F \circ T(c,c),$

ein Isomorphismus, wann immer eines der beiden Koenden existiert.

Beweis. Das folgt direkt aus unserer Beschreibung von Koenden als Kolimites in 1.17.

Bemerkung 1.24. Das wichtigste Beispiel für diesen Fall ist der Hom-Funktor. Praktisch nach Definition von Limes und Kolimes sind $D(d,\cdot):D\to \mathrm{Ens}$ und $D(\cdot,d):D^\mathrm{op}\to \mathrm{Ens}$ stetig. Wir erhalten für $F:C^\mathrm{op}\times C\to D$:

$$D(d, \int_{c} F(c, c)) \xrightarrow{\sim} \int_{c} D(d, F(c, c))$$
$$D(\int_{c} F(c, c), d) \xrightarrow{\sim} \int_{c} D(F(c, c), d).$$

Lemma 1.25 (Transformationen als Ende, [?], 1.18). Seien $F, G: C \to D$ zwei Funktoren. Dann gibt es einen natürlichen Isomorphismus

$$[C,D](F,G) \xrightarrow{\sim} \int_c D(Fc,Gc).$$

Beweis. Transformationen $F \Rightarrow G$ sind genau diejenigen Tupel aus $\prod_c D(Fc,Gc)$, für die für jedes $f:c \to d$ in C die Bilder rechts unten im Diagramm übereinstimmen:

$$D(Fc,Gc) \qquad \qquad \downarrow_{Gf\circ} .$$

$$D(Fd,Gd) \xrightarrow{\circ Ff} D(Fc,Gd)$$

Damit ist [C,D](F,G) der Egalisator aus der Dualisierung von 1.17 und folglich das angegebene Ende.